

УДК 620.179 (031)

Н.И. Твердоступ

## АМПЛИТУДНО-ЧАСТОТНЫЕ ХАРАКТЕРИСТИКИ РЕЗОНАНСНОГО ДЕЛИТЕЛЯ НАПРЯЖЕНИЯ

**Актуальность.** Повышение чувствительности индуктивных (емкостных) датчиков к контролируемому параметру, расширение динамического диапазона измеряемой величины является актуальным при создании устройств измерения и контроля.

**Анализ известных решений.** В основу работы ряда приборов неразрушающего контроля с индуктивными (емкостными) датчиками положен  $Z$ -метрический метод, позволяющий определять приращение модуля комплексного сопротивления датчика, индуктивность (емкость) которого является элементом колебательного контура, расстроенного в пределах полосы пропускания относительно частоты питающего контур внешнего задающего генератора [1]. Устройства на основе  $Z$ -метра имеют невысокую чувствительность к контролируемому параметру [2]. Попытки повысить чувствительность за счет увеличения крутизны склона амплитудно-частотной характеристики (АЧХ) контура неизбежно сопровождаются уменьшением динамического диапазона измерений [3].

**Постановка задачи.** Целью работы является анализ АЧХ резонансного делителя напряжения для обоснования возможности повышения чувствительности и расширения динамического диапазона измеряемого импеданса датчика.

**Основная часть.** Схема  $Z$ -метра (рис.1а) представляет собой частотно-зависимый делитель напряжения, состоящий из активного сопротивления  $R$  и LC-контура, расстроенного в пределах полосы пропускания относительно частоты колебаний задающего генератора. Здесь изменение выходного напряжения  $U_{\text{вых}}$  как функции импеданса LC-контура определяется крутизной склона его АЧХ. При этом динамический диапазон изменения импеданса контура ограничивается шириной АЧХ.

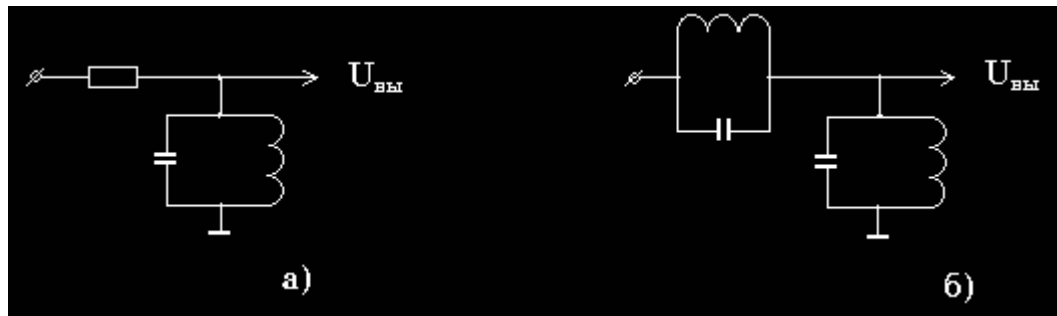


Рисунок 1 - Электрические схемы Z-метра (а) и резонансного делителя (б)

В схеме резонансного делителя напряжения вместо сопротивления  $R$  включен дополнительный колебательный контур  $L_1C_1$  (рис.1б) с расстройкой, противоположной расстройке основного контура  $L_2C_2$ .

Для схемы резонансного делителя напряжения (рис.1б) комплексный коэффициент передачи

$$K(j\omega) = \dot{Z}_2 / (\dot{Z}_1 + \dot{Z}_2), \quad (1)$$

где  $\dot{Z}_1, \dot{Z}_2$ - импедансы контуров, которые соответственно равны

$$\dot{Z}_1 = \frac{r_1 + j\omega L_1}{j\omega C_1(r_1 + j\omega L_1 + 1/j\omega C_1)} \quad (2)$$

$$\dot{Z}_2 = \frac{r_2 + j\omega L_2}{j\omega C_2(r_2 + j\omega L_2 + 1/j\omega C_2)} \quad (3)$$

Обозначим

$$A_1 = \frac{\omega L_1}{r_1} \left[ 1 - \left( \frac{\omega}{\omega_{01}} \right)^2 \right] - \omega C_1 r_1; \quad (4)$$

$$A_2 = \frac{\omega L_2}{r_2} \left[ 1 - \left( \frac{\omega}{\omega_{02}} \right)^2 \right] - \omega C_2 r_2; \quad (5)$$

$$B_1 = \left[ 1 - \left( \frac{\omega}{\omega_{01}} \right)^2 \right]^2 + \omega^2 C_1^2 r_1^2; \quad (6)$$

$$B_2 = \left[ 1 - \left( \frac{\omega}{\omega_{02}} \right)^2 \right]^2 + \omega^2 C_2^2 r_2^2; \quad (7)$$

где  $\omega_{01} = 1/\sqrt{L_1C_1}$ ,  $\omega_{02} = 1/\sqrt{L_2C_2}$  - резонансные частоты контуров,  $r_1, r_2$  - активные сопротивления контуров. Найдем выражение комплексного коэффициента передачи резонансного делителя напряжения в виде

$$K(j\omega) = \frac{B_1[B_1 + B_2 + A_2(A_1B_2 + A_2B_1) + jB_2(A_2 - A_1)]}{(B_1 + B_2)^2 + (A_1B_2 + A_2B_1)^2}. \quad (8)$$



Выражение (9) было протабулировано для значений  $L = 12$  мГ,  $r = 10$  Ом и различных соотношений между  $C_1$  и  $C_2$ . На рис.3 представлены графические зависимости модуля коэффициента передачи  $|K(j\omega)|$ . Если датчик (индуктивный или емкостной) включить в качестве элемента нижнего контура  $L_2C_2$ , то при его расстройке за счет увеличения  $L_2$  или  $C_2$  в случае  $\omega_{02} < \omega_{01}$  (рис.3а), изменяется частота последовательного резонанса  $\omega_{03}$ , максимум значения  $|K(j\omega)|$ , а также крутизна склонов характеристики. Здесь исходную частоту  $\omega$  внешнего генератора следует выбирать из условия

$$\omega_{02} < \omega < \omega_{03}. \quad (11)$$

Тогда при уменьшении  $\omega_{02}$  положительное приращение  $|K(j\omega)|$  будет обусловлено двумя факторами - сдвигом характеристики влево и увеличением максимума значения  $|K(j\omega)|$ . В случае  $\omega_{02} > \omega_{01}$  (рис.3б) целесообразно условие

$$\omega_{03} < \omega < \omega_{02}, \quad (12)$$

которое обеспечивает отрицательное приращение  $|K(j\omega)|$  за счет сдвига характеристики влево и уменьшения максимума  $|K(j\omega)|$ .

Если датчик включен в верхний контур  $L_1C_1$  и  $\omega_{02} < \omega_{01}$  (рис.3в) максимальное приращение  $|K(j\omega)|$  (с отрицательным знаком) будет при

$$\omega_{03} < \omega < \omega_{01}. \quad (13)$$

По аналогии, при  $\omega_{02} > \omega_{01}$  частота  $\omega$  должна быть

$$\omega_{01} < \omega < \omega_{03}. \quad (14)$$

Анализируя условия (11), (12), (13) и (14) для резонансного делителя можно сформулировать правила исходной настройки контуров. Если датчик включен в контур с меньшей резонансной частотой, то частота задающего генератора должна быть большей либо равной частоте контура с датчиком, при этом приращение  $|K(j\omega)|$  будет положительным. Если датчик включен в контур с большей резонансной частотой, то частота задающего генератора должна быть большей либо равной частоте последовательного резонанса, при этом приращение  $|K(j\omega)|$  будет отрицательным. Из зависимостей на рис. 3а,б,в следует также, что максимальная крутизна характеристики и наибольший динамический диапазон измерений наблюдаются при частотах, находящихся между частотой последовательного резонанса  $\omega_{03}$  и частотой, при которой  $|K(j\omega)|=0$ .

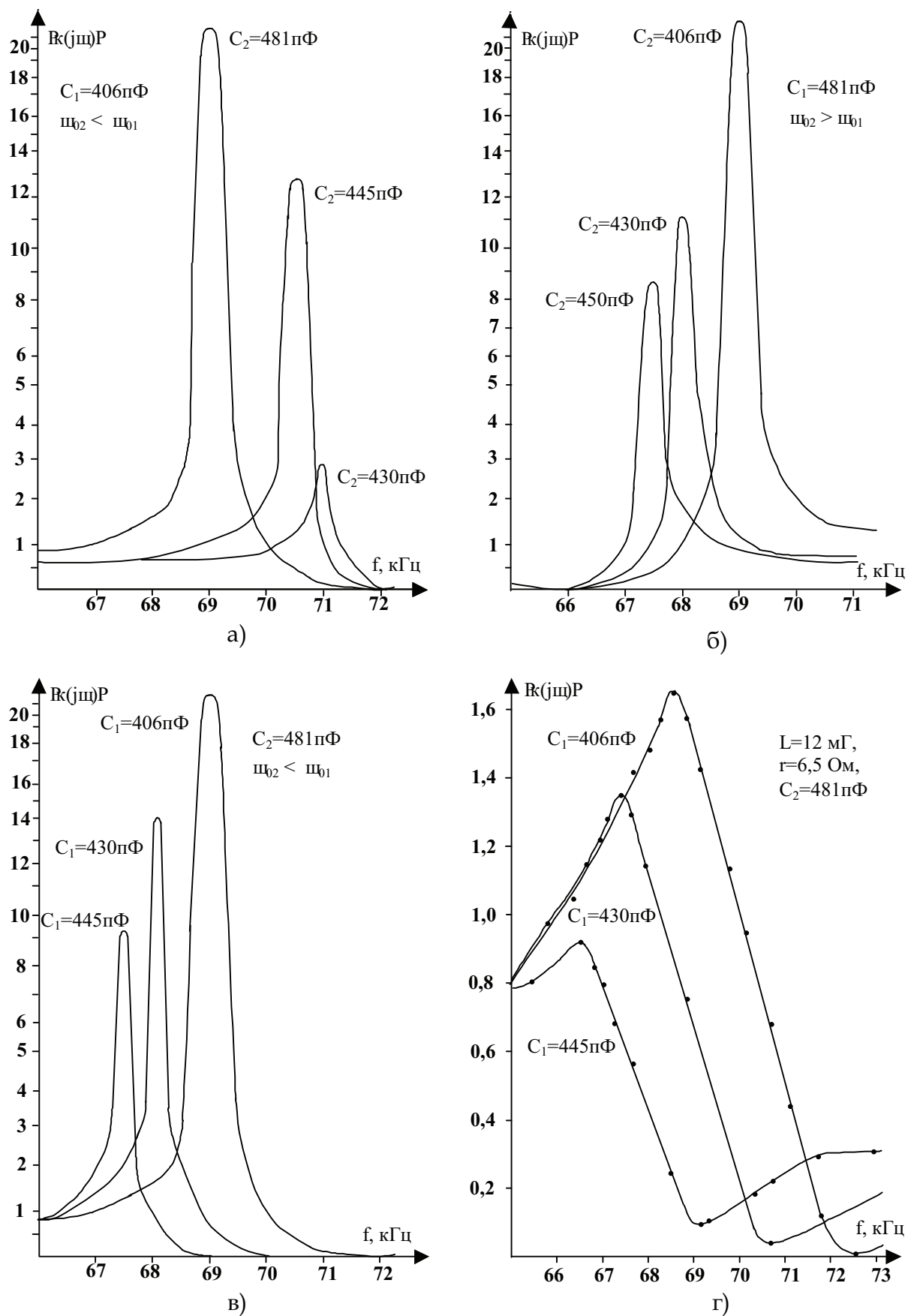


Рис. 3. Расчетные (а,б,в) и экспериментальные (г) амплитудно-частотные характеристики резонансного делителя.

На рис.3г приведены экспериментальные зависимости  $|K(j\omega)|$ , которые достаточно хорошо совпадают с расчетными данными по форме и значениям резонансных частот. Зависимости подтверждают наличие резонансного усиления, при котором  $|K(j\omega)| > 1$ . Уменьшение величин максимумов  $|K(j\omega)|$  по сравнению с расчетными значениями объясняется шунтирующим влиянием выходного сопротивления задающего генератора.

**Выводы.** Анализ амплитудно-частотных характеристик резонансного делителя напряжения показал возможность реализации измерителя импеданса индуктивного (емкостного) датчика с высокой чувствительностью к контролируемому параметру при более широком динамическом диапазоне изменения импеданса датчика, чем у измерителей на основе Z-метра. Проведенный анализ позволил сформулировать правила взаимных расстроек контуров, составляющих резонансный делитель, которые позволяют выбрать необходимую чувствительность к контролируемому параметру и требуемый динамический диапазон.

#### ЛИТЕРАТУРА

1. Неразрушающий контроль металлов и изделий. Справочник / Под ред. Г.С. Самойловича. - .: Машиностроение, 1976. -456 с.
2. Приборы для неразрушающего контроля материалов и изделий. Справочник. Кн.2 / Под ред. В.В. Ключева. - .: Машиностроение, 1986, -352с.
3. Измерения в электронике. Справочник / Под ред. В.А. Кузнецова. - .: Энергоатомиздат, 1987. -512с.

Получено 21.11.06 г.